

Allways in progress

Kraftübertragung in einer einfach überlappten Klebverbindung

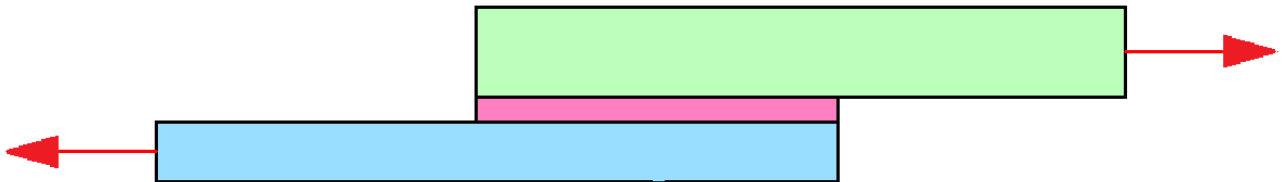
Force transfer in a single lap adhesive bond

Eine einfache, theoretische Betrachtung
A simpel theoretical consideration

© Klaus-Jürgen Bladt

Rostock, den 23.02. 2017

Contact: www.jbladt.de



Kleben-1_01b.bmp



Kleben-3_05.bmp

Die Dokumentation wurde mit bestem Wissen und Gewissen erarbeitet. Trotz sorgfältiger inhaltlicher Kontrolle erhebt die Dokumentation keinen Anspruch auf Vollständigkeit und Richtigkeit. Unbeabsichtigte Fehler können auftreten. Hinweise auf inhaltliche Verbesserungen sind erwünscht. Für die Vervielfältigung des Dokumentes und die Übernahme von Auszügen ist die Zustimmung des Autors erforderlich. Für den Inhalt verlinkter Seiten sind ausschließlich deren Betreiber verantwortlich.

The paper was prepared to best of one's knowledge. The paper makes no claim to be complete and correct in spite of the careful control. References for improvements with regard to the content are welcome. The duplication of the document and the taking over abridges require the approval of the author. The linked WEB-Site operators are responsible for contents of their own sites.

Zwei Dinge sind zu unserer Arbeit nötig: unermüdliche Ausdauer und die Bereitschaft, etwas, in das man viel Arbeit gesteckt hat, wieder wegzwerfen. A. E.
Two things are necessary for our work: indefatigable endurance and the willingness to throw away something that has been put into a lot of work. A. E.

Kraftübertragung in einer einfach überlappten Klebverbindung

Force transfer in a single lap adhesive bond

Eine einfache theoretische Betrachtung / A simple theoretical consideration

0. Anlass der Ausführungen / Reason of the remarks

- In vielen Maschinenelemente-Lehrbüchern, Nachschlagewerken und Vorlesungsskripten werden die Kraftübergang und die Belastung in der Klebfuge zwischen zwei einfachen Fügeteilen (Laschen, Bleche, Gurte, Stege, ...) häufig ohne Quellenangabe dargestellt. Die Lösung des Problems wird erreicht mit Hilfe vereinfachender Annahmen und hat deshalb einen qualitativen Charakter. Sie ist aber für das Verstehen der Belastungsübertragung in der Klebefuge von Bedeutung sowie für vergleichende Betrachtungen geeignet (z.B. Auswirkung von Geometrie- und Materialänderungen). Die Betrachtungen gelten auch für ähnlich geartete Verbindungen wie z. B. Löten.
- Auf eine Darstellung des Lösungsweges wird in vielen Fällen verzichtet. Was an sich bedauerlich ist, da die Lösungsmethodik auch auf andere Probleme übertragbar ist. Es wäre schade, wenn dieses Wissen im Hintergrund bleibt.
- Die o. g. Darstellungen gehen im Allgemeinen von der Verwendung symmetrischer Bedingungen hinsichtlich Material und Geometrie aus, was aus der zentrischen Lage des Koordinatensystems und der symmetrischen Schubspannungsverteilung in der Klebefläche ersichtlich wird. Für von diesen Bedingungen abweichende Konstellationen werden meist keine Aussagen gemacht.
- In many machine element textbooks, reference books and lecture notes the force transfer and the stress in the adhesive surface between two simple joining parts (tabs, plates, belts, webs, strip etc.) are often shown without name of sources of literature. The solution of the problem is achieved with the aid of simplifying assumptions and has therefore a qualitative character. However, it is important for the understanding of stress transfer in the adhesive joint. It is also suitable for comparative considerations (e.g., the effect of geometry and material changes). The considerations also apply to similar compounds such as, for example, soldering.
- In many cases, a representation of the solution path is omitted. What is unfortunate in itself, since the method of solution is also applicable to other problems. It would be unfortunate if this knowledge remained in the background.
- The above mentioned descriptions are generally based on the use of symmetrical conditions with regard to material and geometry, which is evident from the centric position of the coordinate system and the symmetrical shear stress distribution in the adhesive surface. For constellations, which deviate from these conditions, no statements are usually made.

0.01

1. Ziel / Aim

- Der Lösungsweg für eine einschnittige Klebverbindung soll in detaillier, nachvollziehbaren Weise dargestellt werden.
- Annahmen und Voraussetzungen, die die Problemlösung und deren Einschätzung ermöglichen, sollen genannt werden.
- Im Ergebnis sollen Gleichungen, die zu einem möglichen Variantenvergleich verwendet werden können, zur Verfügung stehen.
- The solution path for a single adhesive bond / joint should be presented in a detailed, comprehensible manner (step by step).
- Assumptions and preconditions, which enable the problem solution and its assessment, should be mentioned.
- Equations for a possible variant comparison are to be made available in the result.

1.01

2. Annahmen und Voraussetzungen / Assumptions and predictions

2.01

Für die einschnittige Klebverbindung gilt:

- Die Fügeteile (Gurte, Laschen, Bleche, Stege, ...) haben jeweils eine konstante Dicke s_i .
- Für die Fügeteile i gilt das Hooke'sche Gesetz. Sie haben jeweils einen konstanten Elastizitätsmodul E_i .
- Die Fügeteile werden jeweils über den gesamten Querschnitt $A_i = s_i \cdot b$ gleichmäßig mit Zug $\sigma_i(x)$ belastet. Biegespannungen werden in den Fügeteilen und in der Klebefuge nicht berücksichtigt.
- Zug- und Druckspannungen in der Klebefuge werden nicht übertragen / berücksichtigt.
- Die Klebschicht ist gleichmäßig dick und kann aus mehreren, gleichmäßig verteilten Streifen der Anzahl n mit einer konstanten Breite b_k bestehen. Sie ist relativ dünn $s_i \gg h_k$.
- Die Klebschicht hat einen konstanten Gleitmodul G .
- Die Zugspannung in den Fügeteilen s_i und die Schubspannung in der Klebschicht h_k sind über die jeweilige Breite b konstant.

2.01

A single lap adhesive bond is considered for which:

- The joining parts (tabs, plates, belts, webs, strip etc.). Each has a constant thickness s_i over length l .
- The Hooke law is valid for the joining parts i and each have a constant modulus of elasticity E_i .
- The joining parts are equally loaded with tension $\sigma_i(x)$ over the complete cross area section $A_i = s_i \cdot b$. Bending stresses are not taken into account in the joining parts and in the adhesive joint.
- Tensile and compressive stresses in the adhesive joint are not transferred / considered.
- The adhesive layer is uniformly thick and can consist of several evenly distributed strips of the number n with a constant width b_k . It is relatively thin $s_i \gg h_k$.
- The adhesive layer has a constant shear-modulus G .
- The tensile stress in the joining parts s_i and the shearing stress in the adhesive layer h_k are constant over the width .

3. Formelzeichen / Symbols				3.01
Geometrie			Geometry	3.02
Längenkoordinate	x	mm	Length coordinate	3.03
Länge der Klebfuge	l	mm	Length of the adhesive joint	3.04
Breite der Gurte	b_g	mm	Width of the belts	3.05
Breite eines (1) Klebstreifens	b_k	mm	Width of adhesive stripes	3.06
Anzahl der Klebstreifen	n	–	Number of adhesive strips	3.07
Dicke des oberen Gurtes	s_o	mm	Thickness of the upper belt	3.08
Dicke des unteren Gurtes	s_u	mm	Thickness of the lower belt	3.09
Dicke der Klebschicht	h_k	mm	Height of the adhesive layer	3.10
Querschnittsfläche des oberen Gurtes	A_o	mm ²	Cross Area of the upper belt	3.11
Querschnittsfläche des unteren Gurtes	A_u	mm ²	Cross Area of the lower belt	3.12
Deformationen			Deformations	3.13
Längenänderung des oberen Gurtes	$u_o(x)$	mm	Elongation of the upper belt	3.14
Längenänderung des unteren Gurtes	$u_u(x)$	mm	Elongation of the lower belt	3.15
Winkerverschiebung der Klebschicht	$\gamma(x)$	rad	Angular displacement of the lower belt	3.16
				3.17
Kräfte			Forces	3.18
Kraft an den beiden Gurtenden	F_{max}	N	External force at both endings of the belt	3.19
Kraft im oberen Gurt im Klebfugenbereich	$F_o(x)$	N	Internal reacting force in the upper belt	3.20
Kraft im unteren Gurt im Klebfugenbereich	$F_u(x)$	N	Internal reacting force in the lower belt	3.21
In der Klebfuge übertragene Kraft	$F_k(x)$	N	In the joint transmitted force	3.22
				3.23
Spannungen			Stresses	3.24
Zugspannung im oberen Gurt	$\sigma_o(x)$	N/mm ²	Normal stress in the upper belt	3.25
Zugspannung im unteren Gurt	$\sigma_u(x)$	N/mm ²	Normal stress in the lower belt	3.26
Scherspannung in der Klebfuge	$\tau(x)$	N/mm ²	Shear Stress in adhesive joint	3.27
				3.28
Materialkennwerte			Material characteristics	3.29
Elastizitätsmodul des oberen Gurtes	E_o	N/mm ²	E-modulus of the upper belt	3.30
Elastizitätsmodul des unteren Gurtes	E_u	N/mm ²	E-modulus of the lower belt	3.31
Gleitmodul der Klebeschicht	G_k	N/mm ²	Shear modulus of the adhesive layer	3.32
				3.33
RechengröÙe			Computing sizes	3.34
Flächenfaktor	p	mm ²	Area factor	3.35
Spannungsfaktur	q	N/mm ²	Stressfactor	3.36
Faktor im Exponenten	ω	1/m	Factor in the exponent	3.37
				3.38
				3.39
				3.40

4. Darstellung der Eigenschaften der Verbindung / Representation of the properties of the adhesive joint (bond)				4.01
 Kleben-1_1a.bmp				4.02

5. Kraftübertragungs- und Deformationsverhalten / Force transmission and deformation behavior			5.01	
	<p>F_o(x) n·F_k(x) F_o(x)+dF_o(x) u_o(x) u_o(x)+du_o(x) u_o(x)+du_o(x) σ_o(x) σ_o(x)+dσ_o(x) σ_o(x)+dσ_o(x)</p> <p>σ_u(x) σ_u(x)+dσ_u(x) u_u(x) u_u(x)+du_u(x) F_u(x) F_u(x)+dF_u(x) F_u(x)+dF_u(x)</p> <p>Kleben-1_02.bmp</p>		5.02	
Kräfte- und Verformungsbilanz Bilance of forces and deformations	Kräfte / Forces	Verformungen / Deformations	5.03	
<p>b_e dx s_o h A_o, E_o G_k A_u, E_u s_u b_u b_k x</p> <p>Kleben-1_04.bmp</p>	$(F_o(x) + dF_o(x)) - F_o(x) - n \cdot F_k(x) = 0 \oplus$ $(F_u(x) + dF_u(x)) - F_u(x) + n \cdot F_k(x) = 0 \ominus$	$u_o(x) - u_u(x) = \gamma \cdot h_k \quad \ominus$ $(u_o(x) + du_o(x)) - (u_u(x) + du_u(x)) = (\gamma(x) + d\gamma(x)) \cdot h_k \quad \oplus$	5.04 5.05	
Geometrie Geometry	$dF_o(x) - dF_u(x) - 2 \cdot n \cdot F_k(x) = 0$		5.06	
Allgemein gilt In general	$d\sigma_o(x) = \frac{dF_o(x)}{A_o} = \frac{dF_o(x)}{b_g \cdot s_o}, \quad d\sigma_u(x) = \frac{dF_u(x)}{A_u} = \frac{dF_u(x)}{b_g \cdot s_u}, \quad \tau_k(x) = \frac{F_k(x)}{n \cdot b_k \cdot dx}$ $dF_o(x) = A_o \cdot d\sigma_o(x), \quad dF_u(x) = A_u \cdot d\sigma_u(x), \quad F_k(x) = n \cdot b_k \cdot dx \cdot \tau_k(x)$		5.07	
Einführung von Spannung Introduce of stresses	$A_o \cdot d\sigma_o(x) - A_u \cdot d\sigma_u(x) = 2 \cdot n \cdot b_k \cdot dx \cdot \tau_k(x)$		5.09	
	$\frac{d\sigma_o(x)}{dx} - \frac{A_u}{A_o} \cdot \frac{d\sigma_u(x)}{dx} = -\frac{2 \cdot n \cdot b_k}{A_o} \cdot \tau_k(x)$		5.10	
Spannung und Deformation Stress and deformation	oberer Gurt upper belt	unterer Gurt lower belt	Klebeschicht Adhesive coating	5.12
Zusammenhang von Spannung und Verformung Correlation of stress and deformation	$\sigma_o(x) = E_o \cdot \varepsilon_o$ $\varepsilon_o = \frac{du_o}{dx}$ $\frac{\sigma_o(x)}{E_o} = \frac{du_o}{dx}$	$\sigma_u(x) = E_u \cdot \varepsilon_u$ $\varepsilon_u = \frac{du_u}{dx}$ $\frac{\sigma_u(x)}{E_u} = \frac{du_u}{dx}$	$\tau_k(x) = G_k \cdot \gamma(x)$ $\frac{1}{G_k} \cdot \frac{d\tau_k(x)}{dx} = \frac{d\gamma(x)}{dx}$ $du_o(x) - du_u(x) = d\gamma(x) \cdot h_k$	5.13 5.14 5.15
Ableitungen deviations	$\frac{d\sigma_o(x)}{dx} - \frac{A_u}{A_o} \cdot \frac{d\sigma_u(x)}{dx} = \frac{2 \cdot n \cdot b_k}{A_o} \cdot \tau_k(x)$ $\frac{d^2\sigma_o(x)}{dx^2} - \frac{A_u}{A_o} \cdot \frac{d^2\sigma_u(x)}{dx^2} = \frac{2 \cdot n \cdot b_k}{A_o} \cdot \frac{d\tau_k(x)}{dx}$		$\frac{\sigma_o(x)}{E_o} - \frac{\sigma_u(x)}{E_u} = h_k \cdot \frac{d\gamma(x)}{dx}$ $\frac{\sigma_o(x)}{E_o} - \frac{\sigma_u(x)}{E_u} = \frac{h_k}{G_k} \cdot \frac{d\tau_k(x)}{dx}$ $\frac{G_k}{h_k} \cdot \left(\frac{\sigma_o(x)}{E_o} - \frac{\sigma_u(x)}{E_u} \right) = \frac{d\tau_k(x)}{dx}$	5.16 5.17 5.18
Zusammenführung der Gleichungen The together of the equations	$\frac{d^2\sigma_o(x)}{dx^2} - \frac{A_u}{A_o} \cdot \frac{d^2\sigma_u(x)}{dx^2} = \frac{2 \cdot n \cdot b_k}{A_o} \cdot \frac{G_k}{h_k} \cdot \left(\frac{\sigma_o(x)}{E_o} - \frac{\sigma_u(x)}{E_u} \right)$ $\frac{d^2\sigma_o(x)}{dx^2} - \frac{A_u}{A_o} \cdot \frac{d^2\sigma_u(x)}{dx^2} - \frac{2 \cdot n \cdot b_k}{A_o} \cdot \frac{G_k}{h_k} \cdot \left(\frac{\sigma_o(x)}{E_o} - \frac{\sigma_u(x)}{E_u} \right) = 0$		5.19 5.20	
Kräftegleichgewicht mit den Schnittkräften Equilibrium with the internal forces	<p>X</p> <p>Schnitt / cut</p> <p>Kleben-1_03.bmp</p>		5.21	
Bedingung zur Ermittlung von σ _o (x) und σ _u (x) Condition for the determination of σ _o (x) und σ _u (x)	$F_o(x) + F_u(x) = -F_{max}$ Kräftegleichgewicht: $A_o \cdot \sigma_o(x) + A_u \cdot \sigma_u(x) = -F_{max}$		5.23 5.24	
Ermittlung der 2. Ableitung Determination of the 2 ^d deviation	$\sigma_u(x) = -\frac{F_{max}}{A_u} - \frac{A_o}{A_u} \cdot \sigma_o(x)$ $\frac{d^2\sigma_u(x)}{dx^2} = -\frac{A_o}{A_u} \cdot \frac{d^2\sigma_o(x)}{dx^2}$		5.25 5.26	



Wir erinnern uns (5.20) We remember (5.20)	$\frac{d^2\sigma_o(x)}{dx^2} - \frac{A_u}{A_o} \cdot \frac{d^2\sigma_u(x)}{dx^2} - \frac{2 \cdot n \cdot b_k}{A_o} \cdot \frac{G_k}{h_k} \cdot \left(\frac{\sigma_o(x)}{E_o} - \frac{\sigma_u(x)}{E_u} \right) = 0$	5.27 (5.20)	
Zwischenrechnungen intercalculation	$\left(\frac{d^2\sigma_o(x)}{dx^2} + \frac{A_u}{A_o} \cdot \frac{A_u}{A_u} \cdot \frac{d^2\sigma_o(x)}{dx^2} \right) - \frac{2 \cdot n \cdot b_k}{A_o} \cdot \frac{G_k}{h_k} \cdot \left(\frac{\sigma_o(x)}{E_o} + \frac{A_o}{A_u} \cdot \frac{\sigma_o(x)}{E_u} + F_{max} \right) = 0$	5.28	
	$\left(\frac{d^2\sigma_o(x)}{dx^2} + \frac{d^2\sigma_o(x)}{dx^2} \right) - \frac{2 \cdot n \cdot b_k}{A_o} \cdot \frac{G_k}{h_k} \cdot \left(\frac{\sigma_o(x)}{E_o} + \frac{A_o}{A_u} \cdot \frac{\sigma_o(x)}{E_u} \right) - \frac{2 \cdot n \cdot b_k}{A_o \cdot h_k} \cdot \frac{G_k}{E_u \cdot A_u} \cdot F_{max} = 0$	5.29	
	$2 \cdot \frac{d^2\sigma_o(x)}{dx^2} - \frac{2 \cdot n \cdot b_k}{A_o} \cdot \frac{G_k}{h_k} \cdot \left(\frac{1}{E_o} + \frac{A_o}{A_u} \cdot \frac{1}{E_u} \right) \cdot \sigma_o(x) - \frac{2 \cdot n \cdot b_k}{A_o} \cdot \frac{G_k}{h_k} \cdot \frac{F_{max}}{E_u \cdot A_u} = 0$	5.30	
	$\frac{d^2\sigma_o(x)}{dx^2} - \frac{n \cdot b_k \cdot G_k}{h_k} \cdot \left(\frac{A_o \cdot E_o + A_u \cdot E_u}{A_o \cdot E_o \cdot A_u \cdot E_u} \right) \cdot \sigma_o(x) - \frac{n \cdot b_k \cdot G_k}{h_k} \cdot \frac{1}{A_o} \cdot \frac{F_{max}}{E_u \cdot A_u} = 0$	5.31	
Zu lösende Differentialgleichung Differential equation (to be solved)	$\sigma_o(x) - \frac{h_k}{n \cdot b_k \cdot G_k} \cdot \frac{A_o \cdot E_o \cdot A_u \cdot E_u}{A_o \cdot E_o + A_u \cdot E_u} \cdot \frac{d^2\sigma_o(x)}{dx^2} - \frac{A_o \cdot E_o \cdot A_u \cdot E_u}{A_o \cdot E_o + A_u \cdot E_u} \cdot \frac{F_{max}}{E_u \cdot A_o \cdot A_u} = 0$	5.32	
Dimensionskontrolle Dimension check	$p = \frac{h_k}{n \cdot b_k \cdot G_k} \cdot \frac{A_o \cdot E_o \cdot A_u \cdot E_u}{A_o \cdot E_o + A_u \cdot E_u} \left[\frac{m}{1 \cdot m \cdot N/m^2} \cdot \frac{m^2 \cdot N/m^2 \cdot m^2 \cdot N/m^2}{m^2 \cdot N/m^2 \cdot m^2 + m^2 \cdot N/m^2} = m^2 \right]$	5.33	
	$q = \frac{A_o \cdot E_o \cdot A_u \cdot E_u}{A_o \cdot E_o + A_u \cdot E_u} \cdot \frac{F_{max}}{E_u \cdot A_o \cdot A_u} \left[\frac{m^2 \cdot N/m^2 \cdot m^2 \cdot N/m^2}{m^2 \cdot N/m^2 + m^2 \cdot N/m^2} \cdot \frac{N}{N/m^2 \cdot m^2} = \frac{N}{m^2} \right]$	5.34	
		5.35	
Inhomogene Differentialgleichung inhomogeneous differential equation	$\sigma_o(x) - p \cdot \frac{d^2\sigma_o(x)}{dx^2} - q = 0$	5.36	
Substitution Substitution	$\underbrace{\sigma_o(x) - q}_{S_o(x)} - p \cdot \frac{d^2\sigma_o(x)}{dx^2} = 0$	5.37	
Homogene Differentialgleichung Homogeneous differential equation	$S_o(x) = \sigma_o(x) - q = C \cdot e^{\omega \cdot x}, \quad \frac{d^2S_o(x)}{dx^2} = \frac{d^2\sigma_o(x)}{dx^2} = C \cdot \omega^2 \cdot e^{\omega \cdot x}$	5.38	
Lösungsansatz Solution approach	$e^{\omega \cdot x} - p \cdot \omega^2 \cdot e^{\omega \cdot x} = 0 \rightarrow \omega^2 = \frac{1}{p} \rightarrow \omega = \pm \sqrt{\frac{1}{p}}$	5.39	
		5.40	
Zwischenrechnungen intercalculation	$S_o(x) = \sigma_o(x) - q \rightarrow \sigma_o(x) = S_o(x) + q$	5.41	
	$S_o(x) = C_1 \cdot e^{+\omega \cdot x} + C_2 \cdot e^{-\omega \cdot x},$	5.42	
	$\sigma_o(x) = C_1 \cdot e^{+\omega \cdot x} + C_2 \cdot e^{-\omega \cdot x} + q$	5.43	
	$\frac{\sigma_o(x)}{dx} = C_1 \cdot \omega \cdot e^{+\omega \cdot x} - C_2 \cdot \omega \cdot e^{-\omega \cdot x}$	5.44	
	$\frac{\sigma_o^2(x)}{dx^2} = C_1 \cdot \omega^2 \cdot e^{+\omega \cdot x} + C_2 \cdot \omega^2 \cdot e^{-\omega \cdot x}$	5.45	
		5.46	
Spannungsverlauf im oberen Gurt Stress profile in the upper belt / strip	$\sigma_o(x) = \underbrace{C_1 \cdot e^{+\omega \cdot x} + C_2 \cdot e^{-\omega \cdot x}}_{S_o(x)} + q$	5.47 (5.43)	
Randbedingungen (oberer Gurt) Border conditions (upper belt)	$\sigma_o(x=0) = \sigma_{omin} = 0$	$\sigma_o(x=l) = \sigma_{omin} = \frac{F_{max}}{A_o} = \sigma_{omax}$	5.48
	$S_o(0) + q = \sigma_o(0) = 0$	$S_o(l) + q = \sigma_o(l) = \sigma_{omax}$	5.49
Ermittlung der Integrationskonstanten Calculation of the integration constants	$\sigma_o(x=0) = C_1 \cdot 1 + C_2 \cdot 1 + q = 0$	$\sigma_o(x=l) = C_1 \cdot e^{\omega \cdot l} + C_2 \cdot e^{-\omega \cdot l} + q = \sigma_{omax}$	5.50
	$C_2 = -q - C_1$	$C_2 = \frac{\sigma_{omax} - q - C_1 \cdot e^{\omega \cdot l}}{e^{\omega \cdot l} - e^{-\omega \cdot l}}$	5.51
Integrationskonstante Integration constant	$C_1 = + \frac{\sigma_{omax} - q \cdot (1 - e^{-\omega \cdot l})}{e^{\omega \cdot l} - e^{-\omega \cdot l}}$	$C_2 = -q - C_1 = \frac{\sigma_{omax} - q - C_1 \cdot e^{\omega \cdot l}}{e^{-\omega \cdot l}} - q \cdot e^{\omega \cdot l} + q - \sigma_{omax} = -C_1 \cdot (e^{\omega \cdot l} - e^{-\omega \cdot l}) - \sigma_{omax} + q \cdot (1 - e^{-\omega \cdot l}) = -C_1 \cdot (e^{\omega \cdot l} - e^{-\omega \cdot l})$	5.52
Integrationskonstante Integration constant	$C_2 = - \frac{\sigma_{omax} - q \cdot (1 - e^{\omega \cdot l})}{e^{\omega \cdot l} - e^{-\omega \cdot l}}$	$C_2 = -q - C_1 = -q - \frac{\sigma_{omax} - q \cdot (1 - e^{\omega \cdot l})}{e^{\omega \cdot l} - e^{-\omega \cdot l}} = \frac{-q \cdot e^{\omega \cdot l} - q \cdot e^{-\omega \cdot l} - \sigma_{omax} + q \cdot (1 - e^{-\omega \cdot l})}{e^{\omega \cdot l} - e^{-\omega \cdot l}}$	5.53
		5.54	
Zwischenrechnungen intercalculations	$\sigma_o(x) = C_1 \cdot e^{+\omega \cdot x} + C_2 \cdot e^{-\omega \cdot x} + q$	5.55 (5.47) (5.43)	
	$\sigma_o(x) = \frac{\sigma_{omax} - q \cdot (1 - e^{-\omega \cdot l})}{(e^{\omega \cdot l} - e^{-\omega \cdot l})} \cdot e^{+\omega \cdot x} - \frac{\sigma_{omax} - q \cdot (1 - e^{\omega \cdot l})}{(e^{\omega \cdot l} - e^{-\omega \cdot l})} \cdot e^{-\omega \cdot x} + q$	5.56	
	$\sigma_o(x) = \frac{\sigma_{omax} \cdot (e^{\omega \cdot x} - e^{-\omega \cdot x})}{(e^{\omega \cdot l} - e^{-\omega \cdot l})} + \frac{-q \cdot e^{\omega \cdot x} + q \cdot e^{-\omega \cdot x} \cdot e^{\omega \cdot l} \cdot e^{-\omega \cdot x}}{(e^{\omega \cdot l} - e^{-\omega \cdot l})} - \frac{-q \cdot e^{-\omega \cdot x} + q \cdot e^{\omega \cdot l} \cdot e^{-\omega \cdot x}}{(e^{\omega \cdot l} - e^{-\omega \cdot l})} + q$	5.57	
	$\sigma_o(x) = \frac{\sigma_{omax} \cdot (e^{\omega \cdot x} - e^{-\omega \cdot x})}{(e^{\omega \cdot l} - e^{-\omega \cdot l})} - \frac{q \cdot (e^{\omega \cdot x} - e^{-\omega \cdot x})}{(e^{\omega \cdot l} - e^{-\omega \cdot l})} + \frac{q \cdot e^{-\omega \cdot x} \cdot e^{\omega \cdot l} - q \cdot e^{\omega \cdot l} \cdot e^{-\omega \cdot x}}{(e^{\omega \cdot l} - e^{-\omega \cdot l})} + q$	5.58	
	$\sigma_o(x) = \frac{\sigma_{omax} \cdot (e^{\omega \cdot x} - e^{-\omega \cdot x})}{(e^{\omega \cdot l} - e^{-\omega \cdot l})} - \frac{q \cdot (e^{\omega \cdot x} - e^{-\omega \cdot x})}{(e^{\omega \cdot l} - e^{-\omega \cdot l})} - \frac{q \cdot (e^{(l-x)\omega} - e^{-(l-x)\omega})}{(e^{\omega \cdot l} - e^{-\omega \cdot l})} + q$	5.59	
	$\sigma_o(x) = (\sigma_{omax} - q) \cdot \frac{(e^{\omega \cdot x} - e^{-\omega \cdot x})}{(e^{\omega \cdot l} - e^{-\omega \cdot l})} - \frac{q \cdot (e^{(l-x)\omega} - e^{-(l-x)\omega})}{(e^{\omega \cdot l} - e^{-\omega \cdot l})} + q$	5.60	
	$\sigma_o(x) = (\sigma_{omax} - q) \cdot \frac{\sinh(\omega \cdot x)}{\sinh(\omega \cdot l)} - q \cdot \frac{\sinh(\omega \cdot (l-x))}{\sinh(\omega \cdot l)} + q$	5.61	
	$\sigma_o(x) = (\sigma_{omax} - q) \cdot \frac{\sinh(\omega \cdot x)}{\sinh(\omega \cdot l)} - q \cdot \left(\frac{\sinh(\omega \cdot (l-x))}{\sinh(\omega \cdot l)} - 1 \right)$	5.62	
Spannungsverlauf im oberen Gurt Stress profile in the upper belt / strip	$\sigma_o(x) = (\sigma_{omax} - q) \cdot \frac{\sinh(\omega \cdot x)}{\sinh(\omega \cdot l)} - q \cdot \left(\frac{\sinh(\omega \cdot (l-x))}{\sinh(\omega \cdot l)} - 1 \right)$	5.63	

Wir erinnern uns (5.39) We remember (5.39)	$\omega = \sqrt{\frac{h_k}{n \cdot b_k \cdot G_k} \cdot \frac{A_o \cdot E_o + A_u \cdot E_u}{A_o \cdot E_o + A_u \cdot E_u}}$	$q = \frac{A_o \cdot E_o \cdot A_u \cdot E_u}{A_o \cdot E_o + A_u \cdot E_u} \cdot \frac{F_{max}}{E_u \cdot A_o \cdot A_u} = \frac{1}{1 + \frac{A_u \cdot E_u}{A_o \cdot E_o}} \cdot \frac{F_{max}}{A_o}$	5.64 (5.39)
Zwischenrechnungen intercalculations	$\frac{d\sigma_o(x)}{dx} = (\sigma_{omax} + q) \cdot \omega \cdot \frac{\cosh(\omega \cdot x)}{\sinh(\omega \cdot l)} - q \cdot \omega \cdot \frac{\cosh(\omega \cdot (l-x))}{\sinh(\omega \cdot l)}$		5.65
	$\frac{d\sigma_o(x)}{dx} = (\sigma_{omax} + q) \cdot \frac{\cosh(\omega \cdot x)}{\sinh(\omega \cdot l)} - q \cdot \frac{\cosh(\omega \cdot (l-x))}{\sinh(\omega \cdot l)}$		5.66
Spannungsverlauf im unteren Gurt Stress profile in the lower belt / strip	$\sigma_u(x) = -\frac{F_{max}}{A_u} - \frac{A_o}{A_u} \cdot \sigma_o(x) = -\frac{A_o}{A_u} \cdot \sigma_o(x) + \sigma_{umax}$		5.67 (5.25)
Zwischenrechnungen intercalculations	$\frac{d\sigma_u(x)}{dx} = -\frac{A_o}{A_u} \cdot \frac{d\sigma_o(x)}{dx}$		5.68
	$\frac{d^2\sigma_u(x)}{dx^2} = -\frac{A_o}{A_u} \cdot \frac{d^2\sigma_o(x)}{dx^2}$		5.69
	$A_o \cdot d\sigma_o(x) - A_u \cdot d\sigma_u(x) = 2 \cdot n \cdot b_k \cdot dx \cdot \tau_k(x)$		5.70 (5.09)
	$\tau_k(x) = \frac{A_o}{2 \cdot n \cdot b_k} \cdot \left(\frac{d\sigma_o(x)}{dx} + \frac{A_u}{A_o} \cdot \frac{A_o}{A_u} \cdot \frac{d\sigma_o(x)}{dx} \right)$		5.71
	$\tau_k(x) = \frac{A_o}{n \cdot b_k} \cdot \frac{d\sigma_o(x)}{dx}$		5.72
			5.73
Spannungsverlauf in der Klebfuge Stress profile in the adhesive joint	$\tau_k(x) = \frac{A_o}{n \cdot b_k} \cdot \frac{d}{dx} \left((\sigma_{omax} - q) \cdot \frac{\sinh(\omega \cdot x)}{\sinh(\omega \cdot l)} - q \cdot \left(\frac{\sinh(\omega \cdot (l-x))}{\sinh(\omega \cdot l)} - 1 \right) \right)$		5.74
	$\tau_k(x) = \frac{A_o}{n \cdot b_k} \cdot \omega \cdot \left((\sigma_{omax} - q) \cdot \frac{\cosh(\omega \cdot x)}{\sinh(\omega \cdot l)} + q \cdot \frac{\cosh(\omega \cdot (l-x))}{\sinh(\omega \cdot l)} \right)$		5.75
etc.		$(\sinhx)' = \cosh x, (\cosh x)' = \sinh(x)$	5.76
Minimum von $\tau_k(x)$ Minimum of $\tau_k(x)$	$\frac{\tau_k(x)}{dx} = 0 = \frac{A_o}{n \cdot b_k} \cdot \omega^2 \cdot \left((\sigma_{omax} - q) \cdot \frac{\sinh(\omega \cdot x)}{\sinh(\omega \cdot l)} - q \cdot \frac{\sinh(\omega \cdot (l-x))}{\sinh(\omega \cdot l)} \right)$		5.77
Zwischenrechnung Intercalulation	$\sinh(\alpha_1 + \alpha_2) = \sinh\alpha_1 \cdot \cosh\alpha_2 - \cosh\alpha_1 \cdot \sinh\alpha_2$		5.78
	$\frac{(\sigma_{omax}-q)}{q} = \frac{\sinh(\omega \cdot (l-x))}{\sinh(\omega \cdot x)} = \frac{\sinh(\omega \cdot l) \cdot \cosh(\omega \cdot x)}{\sinh(\omega \cdot x)} - \frac{\cosh(\omega \cdot l) \cdot \sinh(\omega \cdot x)}{\sinh(\omega \cdot x)}$		5.79
	$\frac{(\sigma_{omax}-q)}{q} = \sinh(\omega \cdot l) \cdot \tanh(\omega \cdot x) - \cosh(\omega \cdot l)$		5.80
	$\tanh(\omega \cdot x) = \frac{\sigma_{omax} - q \cdot (1 - \cosh(\omega \cdot l))}{q \cdot \sinh(\omega \cdot l)}$		5.81
Lage des Minimalwertes von τ_{min} Location of the minimal value of τ_{min}	$x(\tau_{kmin}) = \frac{1}{\omega} \cdot \text{artanh} \left(\frac{\sigma_{omax} - q \cdot (1 - \cosh(\omega \cdot l))}{q \cdot \sinh(\omega \cdot l)} \right)$		5.82
			5.83
			5.84

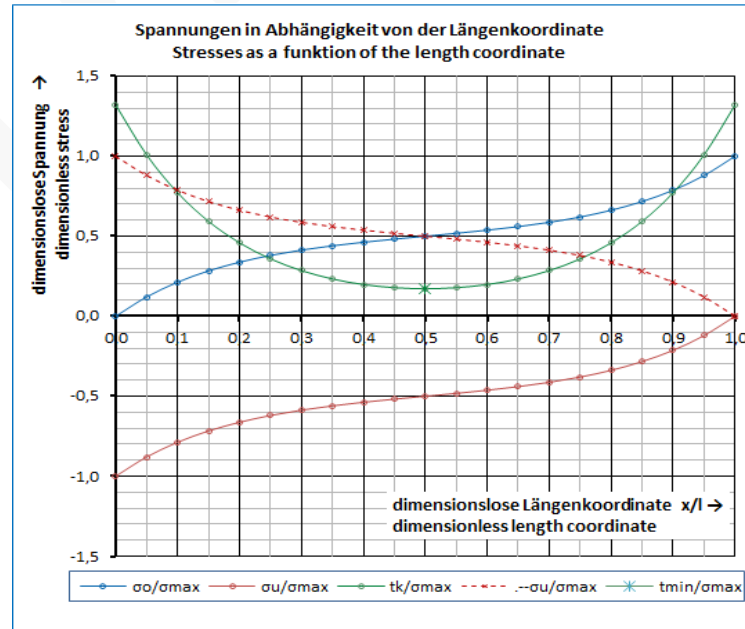
6. Beispiele Examples		6.01
--------------------------	--	------

Symmetrisch Bedingungen

Symmetric conditions

				input ↓	
Kraft durch die Gurte	F_{max}	N	→	10000,0	
Geometrie					
Gurte			→		
Länge der Klebverbindung	l	mm	→	100,00	
Breite der Gurte	b_g	mm	→	80,00	
Dicke des oberen Gutes	s_o	mm	→	12,00	
Dicke des unteren Gutes	s_u	mm	→	12,00	
Klebstreifen					
Breite der Klebstreifen	b_k	mm	→	4,00	$n \cdot b_k \leq b_g = 80,0$
Anzahl der Klebstreifen (ganzzahlig)	n	mm	→	5	$n \cdot b_k = 20,0$
Dicke der Klebstreifen	h_k	mm	→	0,10	
Materialkenntnisse					
Elastizitäts-Modul oberer Gut	E_o	N/mm²	→	210.000	
Elastizitäts-Modul unterer Gut	E_u	N/mm²	→	210.000	
Gleitmodul des Klebstreifen	G_k	N/mm²	→	1.500	
Rechen- u. Kontrollgrößen					
Querschnittsfläche des oberen Gurtes	A_o	mm²	= $b_g \cdot s_o$	960,0	
Querschnittsfläche des unteren Gurtes	A_u	mm²	= $b_g \cdot s_u$	960,0	
Klebfäche	A_k	mm²	= $n \cdot b_k \cdot l$	2.000,0	
Koeffizient	p	1/mm²	→	3,36E+02	
Koeffizient	q	N/mm²	→	5,208E+00	
Exponentenfaktor	ω	1/m	= $1/q^{1/2}$	5,46E-02	
Max. Zugspannung im oberenGurt	$\sigma_{o\max}$	N/mm²	= F_{max}/A_o	10,4167	
Max. Zugspannung im unterenGurt	$\sigma_{u\max}$	N/mm²	= F_{max}/A_u	-10,417	
Absolute max. Zugspannung	σ_{\max}	N/mm²	= $\text{Max}(\sigma_{o\max}, \sigma_{u\max})$	10,417	
	τ_{\max}	N/mm²	→	13,756	
mittlere Scherspannung in der Klebschicht	τ_{km}	N/mm²	= F_{max}/A_k	5,000	0,48 $\tau_{\max}/\sigma_{\max}$
Lage für minimale Scherspannung	τ_{min}	N/mm²	→	1,791	0,1719 τ_{min}/σ_{\max}
Lage für minimale Scherspannung	$x(\tau_{min})$	mm	→	50,00	0,9915 0,500
dimensionslose Darstellung					
Berechnung über die Gurtlänge	x	x/l	σ_o/σ_{\max}	σ_u/σ_{\max}	τ_k/σ_{\max}
	0,00	0,00	0,0000	-1,0000	1,3205
	5,00	0,05	0,1206	-0,8794	1,0084
	10,00	0,10	0,2127	-0,7873	0,7717
	15,00	0,15	0,2833	-0,7167	0,5928
	20,00	0,20	0,3377	-0,6623	0,4583
	25,00	0,25	0,3800	-0,6200	0,3582
	30,00	0,30	0,4133	-0,5867	0,2848
	35,00	0,35	0,4401	-0,5599	0,2328
	40,00	0,40	0,4624	-0,5376	0,1981
	45,00	0,45	0,4819	-0,5181	0,1783
	50,00	0,50	0,5000	-0,5000	0,1719
	55,00	0,55	0,5181	-0,4819	0,1783
	60,00	0,60	0,5376	-0,4624	0,1981
	65,00	0,65	0,5599	-0,4401	0,2328
	70,00	0,70	0,5867	-0,4133	0,2848
	75,00	0,75	0,6200	-0,3800	0,3582
	80,00	0,80	0,6623	-0,3377	0,4583
	85,00	0,85	0,7167	-0,2833	0,5928
	90,00	0,90	0,7873	-0,2127	0,7717
	95,00	0,95	0,8794	-0,1206	1,0084
	100,00	1,00	1,0000	0,0000	1,3205

6.02

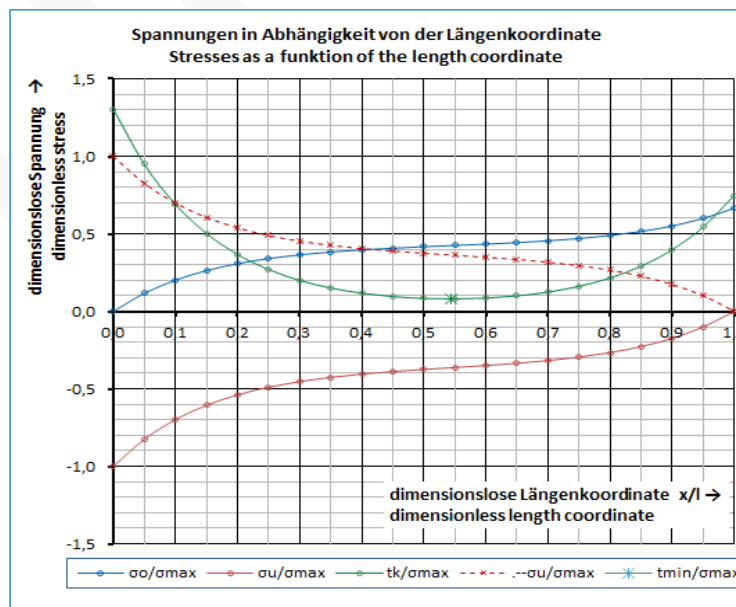


Unsymmetrische Bedingungen

Asymmetric conditions

				input ↓	
Kraft durch die Gurte					
Geometrie					
Gurte					
Länge der Klebverbindung	l	mm	→	100,00	
Breite der Gurte	b_g	mm	→	80,00	
Dicke des oberen Gurtes	s_o	mm	→	12,00	
Dicke des unteren Gurtes	s_u	mm	→	8,00	
Klebstreifen					
Breite der Klebstreifen	b_k	mm	→	4,00	$n \cdot b_k \leq b_g = 80,0$
Anzahl der Klebstreifen (ganzzahlig)	n	mm	→	5	$n \cdot b_k = 20,0$
Dicke der Klebstreifen	h_k	mm	→	0,10	
Materialkennwerte					
Elastizitäts-Modul oberer Gut	E_o	N/mm²	→	210.000	
Elastizitäts-Modul oberer Gut	E_u	N/mm²	→	180.000	
Gleitmodul des Klebstreifen	G_k	N/mm²	→	1.500	
Rechen- u. Kontrollgrößen					
Querschnittsfläche des oberen Gurtes	A_o	mm²	$= b_g \cdot s_o$	960,0	
Querschnittsfläche des unteren Gurtes	A_u	mm²	$= b_g \cdot s_u$	640,0	
Klebfläche	A_k	mm²	$= n \cdot b_k \cdot l$	2.000,0	
Koeffizient	p	1/mm²	→	2,44E+02	
Koeffizient	q	N/mm²	→	6,629E+00	
Exponentfaktor	ω	1/m	$= 1/q^{1/2}$	6,40E-02	
Max. Zugspannung im oberenGurt	σ_{omax}	N/mm²	$= F_{max} / A_o$	10,4167	
Max. Zugspannung im unterenGurt	σ_{umax}	N/mm²	$= F_{max} / A_u$	-15,625	
Absolute max. Zugspannung	σ_{max}	N/mm²	$= \text{Max}(\sigma_{omax}, \sigma_{umax})$	15,625	
	τ_{max}	N/mm²	→	20,393	
mittlere Scherspannung in der Klebschicht	τ_{km}	N/mm²	$= F_{max} / A_k$	5,000	τ_{m}/σ_{max}
Lage für minimale Scherspannung	τ_{min}	N/mm²	→	1,259	τ_{min}/σ_{max}
Lage für minimale Scherspannung	x/τ_{min}	mm	→	54,39	τ_{min}/σ_{max}
dimensionslose Darstellung					
Berechnung über die Gurtlänge					
x	x/l	σ_o/σ_{max}	σ_u/σ_{max}	τ_k/σ_{max}	$-\sigma_u/\sigma_{max}$
0,00	0,00	0,0000	-1,0000	1,3052	1,0000
5,00	0,05	0,1164	-0,8254	0,9487	0,8254
10,00	0,10	0,2010	-0,6985	0,6901	0,6985
15,00	0,15	0,2626	-0,6060	0,5027	0,6060
20,00	0,20	0,3076	-0,5387	0,3672	0,5387
25,00	0,25	0,3405	-0,4893	0,2696	0,4893
30,00	0,30	0,3647	-0,4530	0,1998	0,4530
35,00	0,35	0,3828	-0,4258	0,1506	0,4258
40,00	0,40	0,3966	-0,4051	0,1170	0,4051
45,00	0,45	0,4076	-0,3886	0,0954	0,3886
50,00	0,50	0,4168	-0,3748	0,0837	0,3748
55,00	0,55	0,4253	-0,3620	0,0806	0,3620
60,00	0,60	0,4339	-0,3491	0,0859	0,3491
65,00	0,65	0,4435	-0,3347	0,0999	0,3347
70,00	0,70	0,4551	-0,3174	0,1244	0,3174
75,00	0,75	0,4699	-0,2952	0,1616	0,2952
80,00	0,80	0,4893	-0,2660	0,2155	0,2660
85,00	0,85	0,5155	-0,2267	0,2917	0,2267
90,00	0,90	0,5511	-0,1733	0,3979	0,1733
95,00	0,95	0,5998	-0,1002	0,5452	0,1002
100,00	1,00	0,6667	0,0000	0,7487	0,0000

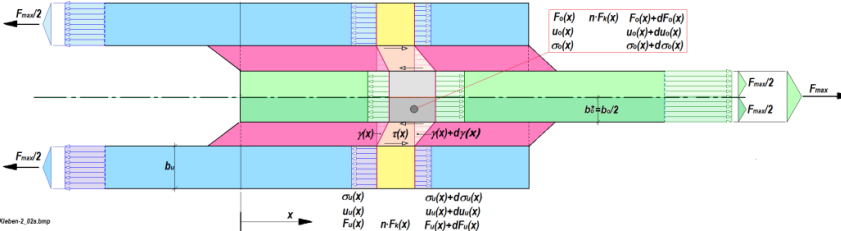
6.04



6.05

7. Abschließende Bemerkungen Final remarks	<ul style="list-style-type: none"> • Der Weg bis zum Ergebnis wurde ausführlich und nachvollziehbar beschrieben. • Anhand von Beispielrechnungen kann gezeigt werden, dass mit dem erreichten Ergebnis das qualitative Verhalten von Klebverbindungen unterschiedlicher Ausführung untersucht und verglichen werden kann. Maximal- und Minimalwerte werden in der Realität erwartungsgemäß nicht so stark ausgeprägt sein. • Der Gleitmodul für eine Klebschicht ist schwer ermittelbar. Aber wie aus der Literatur allgemein ersichtlich, ist das möglich durch geeignete Zug- und Scherversuche. • In der Praxis werden andere Wege zur Auslegung von Klebverbindungen beschritten, die weitgehend auf Versuchen aufbauen und damit in der hier vorgestellten Methode eine nicht erfassbare Vielfalt anderer Parameter einschließen. Der Charakter der Verbindung wird dabei nicht offensichtlich. <ul style="list-style-type: none"> ○ The path to the result has been described in detail and comprehensibly. ○ Based on the example calculations, it can be shown that with the reached result, that the qualitative behavior of adhesive bonds of different designs can be examined and compared. Maximum and minimum values will not be as pronounced as expected in reality. ○ The shear-module for an adhesive layer is difficult to determine. But as is generally apparent from the literature, this is possible by suitable tensile and shearing tests. ○ Other approaches for the design of adhesive bonds are used in the practice, which are based largely on tests and therefore include the unrecognized variety of other parameters. In this case, the character of the connection is not obvious. 	7.01

8. Literaturhinweise / Literatur references		8.01
Friedrich Jaeger, Spannungs- und Dehnungsverhalten von Metallklebungen, Dissertation, Promotion 3281, Eidgenössische Hochschule Zürich, 1962		8.02
O. Volkersen, Die Nietkraftverteilung in zugbeanspruchten Nietverbindungen mit konstanten Laschenquerschnitten. Luftfahrtforschung, 15:41–47, 1938.		8.03
O. Volkersen, Die Schubkraftverteilung in Leim-, Niet- und Bolzenverbindungen. Energie u. Tech., Seiten 68–71, 103–108 u. 150–154, 1953.		8.04
Roloff / Matek, Maschinenelemente, 15. Auflage, 2001, Verlag Vieweg & Sohn, Braunschweig / Wiesbaden		8.05
D. Schlottmann, Maschinenelemente, 1973, VEB Verlag Technik, Berlin		8.06
A. Böge, Taschenbuch Maschinenbau, 21. Auflage, Verlag Springer Vieweg, 2013, I42		8.07
K.-H. Grote, J. Feldhusen, Dubbel – Taschenbuch für den Maschinenbau, Verlag Springer, 2011		8.09
K.-J. Bladt, Axiale Lastverteilung im Gewinde einer Schraubenverbindung mit einer Druck- bzw. einer Zugmutter, screw-web_01.pdf, https://www.jbladt.de/technik/maschinenelemente-machine-elements/		8.10
H.-J. Bartsch, Taschenbuch Mathematischer Formeln, 18. Auflage, Carl Hanser Verlag 1999		8.11
I.N. Bronstein, K. A. Semendjajew, G. Musiol, H. Mühlig, Taschenbuch der Mathematik, 4. Auflage, Verlag Harri Deutsch 1999		8.12
		8.13

Anhang / Appendix		
9. Symmetrische, zweifach überlappte Klebverbindung / symmetric double lap ahesive joint (bond)		9.01
 <p>The diagram illustrates a symmetric double-lap adhesive joint. It shows two overlapping layers of thickness b_0 and a total overlap length of $b_0/2$. The joint is subjected to a maximum force F_{max} at the ends. The force is distributed across the adhesive layer, with a central force of $n F(x)$ and side forces of $F_0(x)$ and $F_0(x) + dF_0(x)$. The diagram also shows stress distributions $\sigma(x)$, strain distributions $u(x)$, and displacement distributions $\gamma(x)$ along the joint length. A file reference 'Kleben-2_02s.bmp' is provided.</p>		9.02
Wie aus dem Bild ersichtlich, kann eine symmetrische, zweifach überlappte Klebverbindung auf Grund ihrer Symmetrie sinngemäß auf die gleiche Weise berechnet werden, wenn eine entsprechende Aufteilung der Geometrie und der durchzuleitenden Kraft vorgenommen wird. Soweit Symmetrie vorhanden ist, können auch mehrfach überlappte Verbindungen betrachtet werden.		9.03
As can be seen in the figure, a symmetrical double-lapped adhesive bond can be calculated analogously in the same way by virtue of its symmetry if a corresponding division of the geometry and of the transmitted force is performed. As far as symmetry is present, multiple overlapped connections can also be considered.		9.04
10. Zugbelastung im oberen Gurt und Schubbelastung im unteren Gurt Tensile load in the upper belt and thrust load in the upper belt		10.01

Geometrie, Kräfte und Spannungen siehe 5.02 – 5.20 Geometry, forces and stresses 5.02 – 5.20	<p>The diagram illustrates a bonded joint with two adhesive layers of thickness $\gamma(x)$ and shear modulus G_k. The top layer has a width $n \cdot b_k(x)$ and the bottom layer has a width $A_u(x)$. The total width is $A_o(x) = n \cdot b_k(x) + A_u(x)$. The shear stresses $\tau(x)$ and $\tau(x+d\gamma)$ are shown at the interface. The normal stresses $\sigma_o(x)$ and $\sigma_u(x)$ are distributed across the adhesive layers. The maximum force F_{max} is applied at the ends. The diagram is labeled "Kleben-3_08.bmp".</p>	10.02
		10.03
Kräftegleichgewicht mit den Schnittkräften (siehe 5.22) Equilibrium of the cutting forces (see 5.22)	<p>A free body diagram shows a cut section of the joint. It is subjected to normal forces $F_o(x)$ and $F_u(x)$ and shear forces F_{max} at the boundaries. The diagram is labeled "Kleben-3_07.bmp".</p>	10.03
Bedingung zur Ermittlung von $\sigma_o(x)$ und $\sigma_u(x)$ (siehe 5.23, 5.24) Condition for the determination of $\sigma_o(x)$ und $\sigma_u(x)$ (see 5.23, 5.24)	$F_o(x) + F_u(x) - F_{max} + F_{max} = 0$ $F_o(x) + F_u(x) = 0$	10.04
	Kräftegleichgewicht: $A_o \cdot \sigma_o(x) + A_u \cdot \sigma_u(x) = 0$	10.05
Siehe 5.25 See 5.25	$\sigma_u(x) = -\frac{A_o}{A_u} \cdot \sigma_o(x)$	10.06
Ermittlung der 2. Ableitung Determination of the 2 ^d deviation	$\frac{d^2 \sigma_u(x)}{dx^2} = -\frac{A_o}{A_u} \cdot \frac{d^2 \sigma_o(x)}{dx^2}$	10.07
Siehe 5.02 – 5.20 See 5.02 – 5.20	$\frac{d^2 \sigma_o(x)}{dx^2} - \frac{A_u}{A_o} \cdot \frac{d^2 \sigma_u(x)}{dx^2} - \frac{2 \cdot n \cdot b_k}{A_o} \cdot \frac{G_k}{h_k} \cdot \left(\frac{\sigma_o(x)}{E_o} - \frac{\sigma_u(x)}{E_u} \right) = 0$	10.08
Homogene Differentialgleichung Homogenous differential equation	$\sigma_o(x) - \underbrace{\frac{h_k}{n \cdot b_k \cdot G_k} \cdot \frac{A_o \cdot E_o \cdot A_u \cdot E_u}{A_o \cdot E_o + A_u \cdot E_u} \cdot \frac{d^2 \sigma_o(x)}{dx^2}}_p = 0$	10.09
	$\sigma_o(x) - p \cdot \frac{d^2 \sigma_o(x)}{dx^2} = 0$	10.10
Lösungsansatz Solution approach	$\sigma_o(x) = C \cdot e^{\omega \cdot x}, \quad \frac{\sigma_o^2(x)}{dx^2} = C \cdot \omega^2 \cdot e^{\omega \cdot x}$	10.11
Exponent Exponent	$e^{\omega \cdot x} - \omega^2 \cdot e^{\omega \cdot x} = 0 \rightarrow \omega = \pm \sqrt{1/p}$	10.12
Lösung Solution	$\sigma_o(x) = C_1 \cdot e^{+\omega \cdot x} + C_2 \cdot e^{-\omega \cdot x}$	10.13
Exponentfaktor Factor of exponent	$\omega = \pm \sqrt{\frac{n \cdot b_k \cdot G_k}{h_k} \cdot \frac{A_o \cdot E_o + A_u \cdot E_u}{A_o \cdot E_o \cdot A_u \cdot E_u}} [1/mm]$	10.14
Randbedingungen Border conditions	$\sigma_o(x=0) = 0, \quad \sigma_o(x=l) = \sigma_{omax}$	10.15
Integrationskonstanten Integration constants	$\sigma_o(x=0) = 0: \quad 0 = C_1 + C_2 \rightarrow C_1 = -C_2$	10.16
	$\sigma_o(x=0) = 0: \quad \sigma_{omax} = C_1 \cdot e^{+\omega \cdot l} - C_1 \cdot e^{-\omega \cdot l} \rightarrow C_1 = \frac{\sigma_{omax}}{(e^{+\omega \cdot l} - e^{-\omega \cdot l})}$	10.17
	$\sigma_o(x) = \sigma_{omax} \cdot \frac{e^{+\omega \cdot x} - e^{-\omega \cdot x}}{(e^{+\omega \cdot l} - e^{-\omega \cdot l})}$	10.18
Spannungsverlauf in den Gurten Stress profile in the belts / strip	$\sigma_o(x) = + \sigma_{omax} \cdot \frac{\sin h(\omega \cdot x)}{\sin h(\omega \cdot l)}$	10.19
	$\sigma_u(x) = -\frac{A_u}{A_o} \cdot \sigma_{omax} \cdot \frac{\sin h(\omega \cdot x)}{\sin h(\omega \cdot l)}$	10.20
Siehe 5.70 – 5.72 See 5.70 - 5.72	$A_o \cdot d\sigma_o(x) - A_u \cdot d\sigma_u(x) = 2 \cdot n \cdot b_k \cdot dx \cdot \tau_k(x)$ $\tau_k(x) = \frac{A_o}{2 \cdot n \cdot b_k} \cdot \left(\frac{d\sigma_o(x)}{dx} + \frac{A_u}{A_o} \cdot \frac{A_o}{A_u} \cdot \frac{d\sigma_u(x)}{dx} \right) = \frac{A_o}{n \cdot b_k} \cdot \frac{d\sigma_o(x)}{dx}$	10.21
Spannungsverlauf in der Klebfuge Stress profile in the adhesive joint	$\tau_k(x) = \frac{A_o}{n \cdot b_k} \cdot \sigma_{omax} \cdot \omega \cdot \frac{\cosh(\omega \cdot x)}{\sinh(\omega \cdot l)}$	10.22
Hinweis Note	Die unter 7.01 und 9.02 aufgeführten Bemerkungen gelten auch hier. The comments listed under 7.01 and 9.02 also apply here.	10.23
		10.24

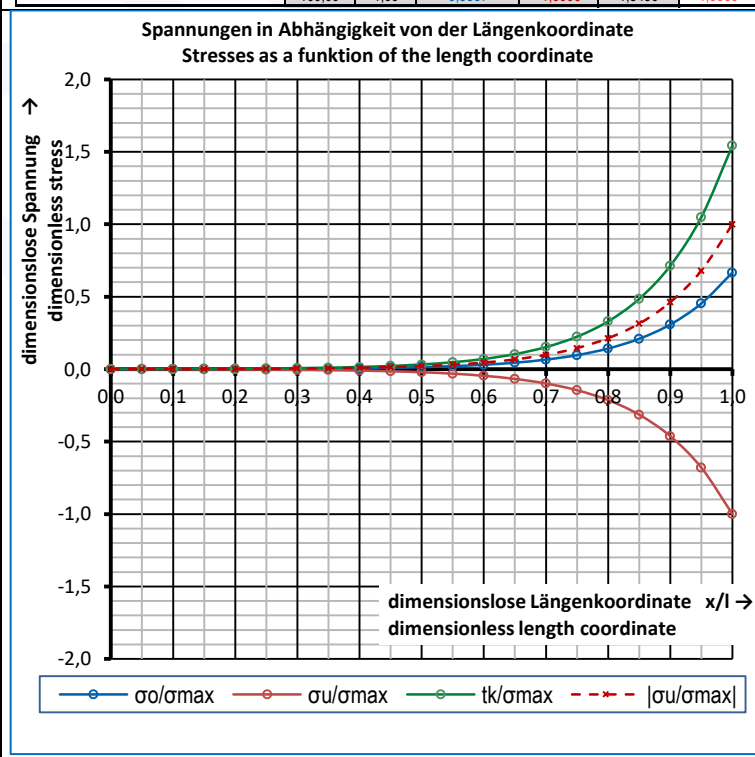
Beispiel

Example

Unsymmetrische Bedingungen
Asymmetric conditions

Klebverbindung - 2 / Adhesive bond - 2				input ↓
Kraft durch die Gurte	F_{max}	N	→	10.000,0
Geometrie				
Gurte			→	
Länge der Klebverbindung	l	mm	→	100,00
Breite der Gurte	b_g	mm	→	50,00
Dicke des oberen Gutes	s_o	mm	→	12,00
Dicke des unteren Gutes	s_u	mm	→	8,00
Klebstreifen				
Breite der Klebstreifen	b_k	mm	→	4,00
Anzahl der Klebstreifen (ganzzahlig)	n	mm	→	5
Dicke der Klebstreifen	h_k	mm	→	0,10
Materialkennwerte				
Elastizitäts-Modul oberer Gut	E_o	N/mm²	→	210.000
Elastizitäts-Modul oberer Gut	E_u	N/mm²	→	210.000
Gleitmodul des Klebstreifen	G_k	N/mm²	→	1.500
Rechen- u. Kontrollgrößen				
Querschnittsfläche des oberen Gutes	A_o	mm²	= $b_g \cdot s_o$	600,0
Querschnittsfläche des unteren Gutes	A_u	mm²	= $b_g \cdot s_u$	400,0
Klebfäche	A_k	mm²	= $n \cdot b_k \cdot l$	2.000,0
Koeffizient	p	1/mm²	→	1,68E+02
Exponentenfaktor	ω	1/m	= $1/q^{1/2}$	7,72E-02
Max. Zugspannung im oberenGurt	σ_{max}	N/mm²	= F_{max} / A_o	16,67
Max. Zugspannung im unterenGurt	$\sigma_{u,max}$	N/mm²	= F_{max} / A_u	-25,00
Absolute max. Zugspannung	σ_{max}	N/mm²	= $\text{Max}(F_{max} / A_{o/u})$	25,00
Max. Scherspannung	τ_{max}	N/mm²	Max $\tau(x)$	38,58
mittlere Scherspannung (Klebschicht)	τ_{km}	N/mm²	= F_{max} / A_k	5,00
Min. Scherspannung	τ_{min}	N/mm²	= $\text{Min } \tau(x)$	0,00
Lage für minimale Scherspannung	$x(\tau_{min})$	mm	→	0,00
dimensionslose Darstellung				
Berechnung über die Gurtlänge				
x	x/l	σ_o/σ_{max}	σ_u/σ_{max}	τ_k/σ_{max}
0,00	0,00	0,0000	0,0000	0,0014
5,00	0,05	0,0002	-0,0004	0,0015
10,00	0,10	0,0005	-0,0008	0,0018
15,00	0,15	0,0009	-0,0013	0,0024
20,00	0,20	0,0013	-0,0020	0,0034
25,00	0,25	0,0020	-0,0030	0,0048
30,00	0,30	0,0030	-0,0045	0,0070
35,00	0,35	0,0044	-0,0066	0,0103
40,00	0,40	0,0065	-0,0097	0,0151
45,00	0,45	0,0096	-0,0143	0,0222
50,00	0,50	0,0141	-0,0211	0,0326
55,00	0,55	0,0207	-0,0311	0,0479
60,00	0,60	0,0305	-0,0457	0,0705
65,00	0,65	0,0448	-0,0672	0,1037
70,00	0,70	0,0659	-0,0988	0,1525
75,00	0,75	0,0969	-0,1453	0,2242
80,00	0,80	0,1425	-0,2137	0,3298
85,00	0,85	0,2096	-0,3143	0,4850
90,00	0,90	0,3082	-0,4623	0,7134
95,00	0,95	0,4533	-0,6799	1,0492
100,00	1,00	0,6667	-1,0000	1,5430
				1,0000

10.25



10.26